

1385

МИНИСТЕРСТВО ВЫСШЕГО И СРЕДНЕГО СПЕЦИАЛЬНОГО
ОБРАЗОВАНИЯ СССР

МОСКОВСКИЙ ОРДЕНА ТРУДОВОГО КРАСНОГО ЗНАМЕНИ
ИНЖЕНЕРНО-ФИЗИЧЕСКИЙ ИНСТИТУТ

Всеобщая школа по теор. ядер. физике. Сессия 6

**«Некоторые вопросы экспериментальных
исследований в области физики высоких энергий»**

В. Г. КИРИЛЛОВ-УГРЮМОВ, А. М. ГАЛЬПЕР, Б. И. ЛУЧКОВ

**ГАММА-АСТРОНОМИЯ
(ТЕЗИСЫ)**

(Конспекты лекций)

МОСКВА — 1975

539.1
В 85

МИНИСТЕРСТВО ВЫСШЕГО И СРЕДНЕГО СПЕЦИАЛЬНОГО
ОБРАЗОВАНИЯ СССР

— — —

МОСКОВСКИЙ ОРДЕНА ТРУДОВОГО КРАСНОГО ЗНАМЕНИ
ИНЖЕНЕРНО-ФИЗИЧЕСКИЙ ИНСТИТУТ

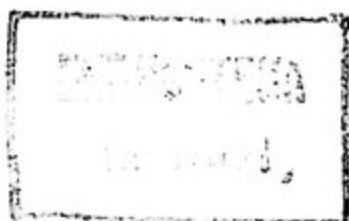
Библиографическая ссылка по теме: Ядр. физика. Сессия 6

НЕКОТОРЫЕ ВОПРОСЫ ЭКСПЕРИМЕНТАЛЬНЫХ
ИССЛЕДОВАНИЙ В ОБЛАСТИ ФИЗИКИ
ВЫСОКИХ ЭНЕРГИЙ

В.Г. Кириллов-Угрюмов, А.М. Гальпер, Б.И. Лучков

ГАММА-АСТРОНОМИЯ (ТЕЗИСЫ)

(Конспекты лекций)



Москва - 1975

1. ВВЕДЕНИЕ

Гамма-астрономия — раздел внеатмосферной астрономии, исследующий космическое электромагнитное излучение с энергией квантов $10^5 - 10^{13}$ эв. Отличительные особенности γ — диапазона:

а) Большая энергия кванта.

Гамма-кванты возникают в первичных актах взаимодействия высокоэнергичных частиц с веществом. Их регистрация дает сведения об основных процессах, протекающих в астрофизических объектах (звездах, туманностях, ядрах галактик).

б) Новые каналы генерации, не встречающиеся в других диапазонах электромагнитного спектра.

Распад π^0 — мезонов, рождающихся в ядерных взаимодействиях, линейчатое γ — излучение, возникающее в ядерных реакциях и при распаде возбужденных ядер, электронно-позитронная аннигиляция.

в) Высокая проникающая способность.

Вселенная прозрачна для γ — квантов ($E \approx 1 - 10^3$ мэв) вплоть до красных смещения $z = 100 - 300$ (при концентрации межгалактического газа $10^{-5} - 10^{-7}$ см $^{-3}$).

П. ПРОЦЕССЫ ГЕНЕРАЦИИ γ -КВАНТОВ

Гамма-кванты образуются при взаимодействии энергичных частиц (электронов, протонов, ядер) с веществом и излучением, при аннигиляции вещества с антивеществом, при радиоактивном распаде.

Основные процессы генерации космического γ -излучения (КГИ):

1. Тормозное излучение релятивистских электронов.

Энергетический спектр γ -квантов близок по форме к спектру излучающих электронов. При анизотропии потоков электронов возникает линейная поляризация γ -излучения.

2. Магнитотормозное (синхронное) излучение релятивистских электронов.

Спектр излучения степеней, спектральные индексы γ -излучения α_γ и электронов α_e связаны соотношением $\alpha_\gamma = \frac{\alpha_e - 1}{2}$. Возможна линейная поляризация γ -излучения.

3. Комптоновское рассеяние фотонов на релятивистских электронах.

Спектр такой же, как у синхротронного γ -излучения. Линейная поляризация γ -излучения при рассеянии поляризованных фотонов.

4. Электронно-позитронная аннигиляция: $e^- + e^+ \rightarrow 2\gamma$

Линейчатое γ -излучение с энергией $E = m_e c^2 = 0,51$ Мэв.

5. Рождение и распад нейтральных пионов в ядерных взаимодействиях: $N + N \rightarrow N' + N' + \pi^0$; $\pi^0 \rightarrow 2\gamma$

Непрерывный спектр с максимумом при $E = \frac{m_{\pi^0} c^2}{2} = 67,5$ Мэв. При больших энергиях спектр приблизительно степенной с показателем, близким к показателю спектра космических лучей (рис. 1).

6. Нуклон-антинуклонная аннигиляция: $N + \bar{N} \rightarrow \bar{p}, K$;

$$\pi^0 \rightarrow 2\gamma$$

Спектр подобен спектру, возникающему в процессе 5; но отличается более крутым падением при больших и малых энергиях и обрывом при $E = 920$ Мэв (рис. 1).

Редкий канал аннигиляции: $p + \bar{p} \rightarrow 2\gamma$, $< 10^{-4}$ от обычного "сильного" канала. Линейчатое излучение с энергией $E = m_p c^2 \approx 1$ Гэв.

7. Ядерные реакции с образованием γ -квантов.

Например, $p + n \rightarrow d + \gamma$, $E = 2,23$ Мэв.

8. Излучение возбужденных ядер.

Линейчатый спектр.

Поток γ -квантов, образованных на пути L , равен

$$J_{\gamma}(\geq E) = N(L) \bar{\sigma}, \text{ где } N(L) -$$

число атомов (ядер, фотонов - в зависимости от рассматриваемого процесса) на длине L , $\bar{\sigma}$ - усред-

ненное по спектру генерирующих частиц сечение рождения γ -квантов.

Ш. ОСНОВНЫЕ АСТРОФИЗИЧЕСКИЕ ЗАДАЧИ

Исследование космического гамма-излучения (КГИ) — неотъемлемая часть современной астрофизики. Вместе с другими диапазонами электромагнитного спектра дает правильное представление о процессах, протекающих в разных частях Вселенной.

КГИ состоит из изотропного диффузного (метagalактического) потока, анизотропного потока, исходящего от Галактики и занимающего на небе область Млечного Пути, и отдельных дискретных источников, как галактической, так и внегалактической природы.

Основные астрофизические направления, в развитии которых γ -астрономия может сыграть важную роль :

1. Сведения с межзвездной и межгалактической среде.

Потоки γ -квантов несут информацию о плотности вещества, антивещества, излучения и магнитного поля в источниках и в космическом пространстве. Наиболее ценные сведения могут дать "пионные" γ -кванты, прямо связанные с плотностью газа (и антигаза), с его составом и пространственным распределением. Может быть исследована спиральная структура Галактики и получены сведения о межгалактическом газе.

Проблема молекулярного водорода. Данные радиоастрономии, в частности наблюдения на $\lambda = 21$ см, дали сведения об атомарном водороде и лишь косвенно (например, по линиям излучения CO) о количестве H_2 в составе пылевых облаков. Наиболее полные сведения о плотности водорода (во всех формах, в том числе и в форме H_2) дадут наблюдения "пионных" γ - квантов.

2. Проблема антивещества

Экспериментальная и теоретическая ситуация с существованием где-либо во Вселенной макроскопических количеств антивещества (АВ) неопределенны. Традиционная нестационарная космология считает, что изначально В и АВ, т.к. иначе возникла бы "радиационная катастрофа" и безразмерная энтропия была бы $\sim 10^{18}$ вместо 10^9 по наблюдениям реликтового радиоизлучения.

Однако в последнее время появились нестационарные симметричные ($AB = B$) модели с разделением В и АВ на раннем этапе эволюции (Альвена - Клейна, Омне - Харрисона).

Регистрация γ - квантов позволит обнаружить антивещество по аннигиляции на границах В и АВ, т.к. значительная доля массы и энергии В и АВ переходит в поток γ -квантов: в одном акте $\bar{N}N$ - аннигиляции образуются два γ -кванта с $E = 0,51$ Мэв и в среднем 3,3 γ - кван-

та с $E \approx 190$ Мэв, т.е. кпд γ -излучения 34 %.

3. Сведения о космических лучах.

Так как γ -излучение генетически связано с космическими лучами, исследования КГИ дают сведения о космических лучах в разных частях Галактики, в межгалактическом пространстве и в других галактиках. В то время, как сведения об электронной компоненте можно получить и из радио и рентгеновской астрономии, сведения о протонно-ядерной компоненте — происхождение космических лучей, их источники (процессы генерации), распространение — можно получить только из данных γ -астрономии ("пионные" γ -кванты).

а) Происхождение космических лучей.

Две противоположные, галактическая и метагалактическая, гипотезы происхождения космических лучей.

Идея Гинзбурга : измерить потоки γ -квантов от Большого и Малого Магелановых облаков (БМО, ММО). Согласно метагалактической гипотезе ($\rho_{\text{кп}} \approx 1$ эв/см³ во всей Метагалактике) потоки γ -квантов с $E \geq 100$ Мэв равны

$$F_{\text{БМО}} \approx 2 \cdot 10^{-7} \frac{\gamma}{\text{см}^2 \text{ сек}}, \quad F_{\text{ММО}} \approx 1 \cdot 10^{-7} \frac{\gamma}{\text{см}^2 \text{ сек}}$$

Если измеренные потоки окажутся меньше, метагалактическая гипотеза неверна.

б) Источники космических лучей.

Возможные источники : вспышки сверхновых, пульсары, оболочки сверхновых, галактическое ядро – в Галактике, сейфертовские галактики, квазары, галактики типа В L Ящерицы – в Метагалактике.

Источники космических лучей должны наблюдаться как дискретные источники КГИ.

4. Свойства компактных астрофизических объектов.

Рентгеновское и γ -излучение возникает при аккреции вещества на компактные объекты (белые карлики, нейтронные звезды (НЗ), черные дыры (ЧД)).

Тесные двойные системы с компактным объектом: НЗ – Her X-1, Cen X-3, ЧД – Cyg X-1, SMC X-1.

Определение гравитационного потенциала на поверхности НЗ по смещению линий γ -излучения представляет возможность изучения физических условий в источниках.

5. Гамма-астрономия и космология.

Высокая проникающая способность γ -излучения позволяет наблюдать "объекты" вплоть до $z \approx 100$, что соответствует "возрасту" $t_0 \approx 2 \cdot 10^6$ лет ($t_0 = \frac{1}{H} \left[k - \frac{(z+1)^2 - 1}{(z+1)^2 + 1} \right]$), где $H = 50 \frac{\text{км}}{\text{сек.Мпс}}$ постоянная Хаббла,

к — коэффициент, зависящий от модели Вселенной).

Космологические γ -излучения — реликты ранних эпох развития Вселенной.

а) Эпоха образования галактик.

Период формирования галактик и начала генерации космических лучей. Реликтовое "пионное" γ -излучение, максимум в спектре которого приходится на $E = \frac{67,5}{z_2 + 1}$ Мэв, где $z_2 = 2 - 100$ — параметр красного смещения, соответствующий этой эпохе.

б) Эпоха аннигиляции.

Баронно-симметричная модель Омне-Харрисона. Реликтовая аннигиляционная линия $\frac{0,51}{z_a + 1}$ Мэв и реликтовый аннигиляционный "пионный" спектр с максимумом при энергии $\frac{67,5}{z_a + 1}$ Мэв, z_a — параметр красного смещения эпохи аннигиляции.

6. Сведения об эволюции звезд

Гамма-кванты от термоядерных реакций могут регистрироваться, если реакции происходят в оптически тонком слое: в наружных слоях вспыхивающих звезд или при взрыве сверхновых. В последнем случае идут, например, реакции $C_6^{12} + C_6^{12} \rightarrow Mg_{12}^{24} + \gamma$, $O_8^{16} + O_8^{16} \rightarrow S_{16}^{32} + \gamma$ которые позволят уточнить химический состав звезды. Химический состав звезд и процессы, происходящие во время вспышек, определяются также по характеристическому ядерному γ -излучению.

7. Исследование Солнца и планет

Солнечное γ -излучение характеризует состав и динамику фотосферы и хромосферы, процесс ускорения частиц

Гамма-альbedo планет – способ определения химсостава и структуры небесных тел.

1У. МЕТОДЫ γ -АСТРОНОМИИ.

Гамма-кванты регистрируются по вторичным электронам и их излучению: комптоновские и фотоэлектроны, электронно-позитронные пары, черенковское излучение ШАЛ. Элементы γ -телескопов: конвертор, сцинтилляционные, полупроводниковые, черенковские и пропорциональные счетчики, искровые камеры, фотоэмульсии. Гамма-телескопы характеризуются направленностью, угловым ($\Delta\theta$) и энергетическим ($\Delta E/E$) разрешением, методом измерения поляризации. Условия работы телескопа (высотный аэростат, космический корабль) определяют фоновые загрузки и способность телескопа выделять потоки КГИ.

а) Угловое разрешение γ -телескопов.

Всенаправленные телескопы для интервала мягких γ -квантов (0,1–10 Мэв). Активные и пассивные коллиматоры, щелевые, сотовые и т.д. используются для придания приборам свойств направленных детекторов.

Счетчиковые γ -телескопы для регистрации энергичных γ -квантов позволяют получить угловое разрешение

$\Delta \theta \approx 15^\circ$ при $E = 100$ Мэв (ОСО-3, "Космос-208").

Использование искровых камер и фотоэмульсии в телескопах позволяет улучшить угловое разрешение и уменьшить фоновый счет, увеличить геометрический фактор и эффективную площадь. Используются различные типы оптических и автоматических искровых камер. Искровые γ -телескопы ($\Delta \theta \approx 5^\circ$ при 100 Мэв): "Космос-264" (рис.2), SAS-2 (рис. 3), СОС-В.

Фотоэмульсия в качестве конвертора ($\Delta \theta \approx 1^\circ$).

Черенковские регистраторы ШАЛ в интервале сверхжестких γ -квантов ($10^2 - 10^4$ Гэв). Наземная установка с оптическими зеркалами большой площади (до 100 м^2), регистрирующая черенковское излучение ШАЛ, созданного γ -квантом в верхних слоях атмосферы, имеет угловое разрешение $\Delta \theta \approx 1^\circ$. Недостаток метода - большой фон от космических лучей.

б) Методы измерения энергии.

Для определения энергии мягких γ -квантов используются спектрометры полного поглощения на кристаллах NaI (Tl), CsI (Tl), $\frac{\Delta E}{E} \approx 10\%$; германий - литиевые и кремниевые детекторы имеют $\frac{\Delta E}{E} \approx 1\%$.

Для энергичных γ -квантов - многократное рассеяние в электродах искровой камеры ($\frac{\Delta E}{E} \approx 30\%$ при 100 Мэв); искровой калориметр, в котором определяется число искр ($\frac{\Delta E}{E} \approx 50\%$ при 1 Гэв); сцинтилляционный калориметр, счет-

чик полного поглощения.

в) Методы измерения поляризации.

Проводится измерение асимметрии томсоновского рассеяния — для мягких γ -квантов,, асимметрии пространственного расположения плоскостей конверсионных пар — для энергичных γ -квантов.

г) Фоновые условия. Выделение дискретных источников γ -квантов.

Потоки КГИ на 4–5 порядков меньше потока заряженной компоненты космических лучей, поэтому измерения можно проводить за пределами атмосферы. γ -квантовые события имитируются нейтронами и заряженными частицами. Осложняет регистрацию КГИ наличие фонового γ -излучения, возникающего в атмосфере, а при измерениях на спутниках — непосредственно в самих спутниках. Наведенная активность — искусственная радиоактивность детектора, вызванная космической радиацией, которая особенно велика в радиационных поясах. Наиболее лучшие условия измерения на низкой (200–500 км) экваториальной орбите.

Наличие широтной зависимости γ -излучения при измерении на ИСЗ свидетельствует о “загрязнении” фоновыми γ -квантами. Извлечение истинного потока КГИ в этих условиях проводится экстраполяцией на бесконечную жесткость геомагнитного обрезания.

Поиск дискретных источников КГИ. Минимальный регистрируемый поток от источника $F_{min} = C \left(\frac{B \Delta \Omega}{S_{эф} t} \right)^{1/2}$, где B — фоновый поток, $\Delta \Omega \approx \pi (\Delta \theta)^2$ — пространственное угловое разрешение телескопа, $S_{эф}$ — эффективная площадь, t — время наблюдения источника, $C \approx 3$ — величина избытка над фоном, выраженная в стандартных отклонениях. Наиболее эффективный фактор, линейно связанный с F_{min} — угловое разрешение

Критерии дискретного источника. Критерий функции максимума правдоподобия $\mathcal{L}(S) = \frac{1}{M} \left(\frac{S}{B} + 1 \right)^{N-S} e^{-S}$ где N , B , S — полный, фоновый и источниковый счеты γ — квантов, M — число "проб" при обработке экспериментальных данных. Источник считается реальным, если пре-
взойден 95 % уровень достоверности ($A = 0,95$), т.е.

$\mathcal{L}_{max} \geq \frac{1}{1-A} = 20$. Для $\mathcal{L}_{max} < 20$ — возможный источник верхним пределом, находимым из условия $\mathcal{L}(S_{верх}) = \mathcal{L}_{max} (1-A)$. Критерий повторяемости. Возможный источник считается реальным, если он наблюдается в нескольких экспериментах.

За последние 10 лет "поисковые способности" γ — телескопов по F_{min} возросли в 10^3 раз и достигли уровня $10^{-6} \frac{\gamma}{\text{см}^2 \text{ сек}}$ для $E \geq 100$ Мэв.

д) Средства доставки.

Высотные аэростаты: полезный вес до 1 тснн; высота

дрейфа $2 \text{ г/см}^2 - 7 \text{ г/см}^2$ остаточной атмосферы для американских и отечественных аэростатов; длительность полета до нескольких суток. Геофизические ракеты: полезный вес до 100 кг, высота до 200 км, продолжительность полета вне атмосферы ~ 10 мин.

ИСЗ, космические корабли, ДЭС — главное направление γ — астрономии:

- Большая продолжительность наблюдений (до 1 года) ;
- Выход за пределы атмосферы, минимальный фон ;
- Возможность непрерывной ориентации на источник;
- Проверка "загрязнения" измерением широтной зависимости.

Специализированные γ -спутники : ESR O TD-1, COS -B, SAS-2 (низкая, 400-600 км, почти экваториальная орбита, малый фон).

У. РЕЗУЛЬТАТЫ НАБЛЮДЕНИЙ

Поиски КГИ, начатые 15 лет назад, долгое время не давали положительных результатов из-за больших фонов и малой светосилы γ - телескопов. Заметный прогресс за последние годы: открытия γ -излучения Галактики, диффузного потока, ряда дискретных источников, кратковременных всплесков мягких γ - квантов. В ближайшее время наблюдательная γ -астрономия может стать основным источником новой астрофизической информации и решить задачи, пе-

речисленные в разделе Ш.

1. Галактическое γ -излучение.

Результаты многих наблюдений, в первую очередь выполненных на спутниках OSO-3 и SAS-2, указали на существование диффузного анизотропного γ -излучения Галактики. Измерены широтное и долготное распределения и энергетический спектр галактического потока γ -квантов.

а) Широтное распределение (рис. 4).

Для района центра Галактики ($l = \pm 30^\circ$) и γ -квантов с $E \geq 100$ Мэв распределение состоит из двух компонент (рис. 4а): $f_\gamma(b) = K f_{уз} + (1-K) f_{шир}$, где $f_{уз}$, $f_{шир}$ - узкая ($\sigma \approx \Delta\theta \approx 4^\circ$) и широкая ($\sigma \approx 6-7^\circ$) компоненты; $K = 0,5-0,6$. Широкая компонента отождествляется с γ -излучением близких к Солнцу участков Галактики ($r < 3$ кпс), узкая - с γ -излучением, приходящим с расстояний $r > 3$ кпс. С напреглений, близких к антицентру, приходит только широкая компонента (рис. 4 б).

Увеличенный поток γ -квантов в областях $l = \pm 30^\circ$, $b = 15-30^\circ$ и $l = 160-200^\circ$, $b = -10 - -15^\circ$ - возможно, проявление структуры Галактики, наблюдаемой также в радиоизлучении (*Golden Belt*).

б) Долготное распределение (рис. 5).

Особенности распределения связаны с дискретной

структурой Галактики: спиральными рукавами (рис.6) и локальными источниками. Максимумы γ -излучения наблюдаются с направлений, где луч зрения проходит вдоль спирального рукава, т.ч. "набирается" максимальное произведение потока космических лучей на количество межзвездного газа (рис.5)

$l = 310 - 315^\circ$	- рукав <i>Scutum</i> ,
$l = 330 - 335^\circ$	- рукав <i>Norma</i> ,
$l = 340 - 345^\circ$	- рукав на 4 кпс,
$l = 70 - 80^\circ$	- рукав <i>Orion</i> .

Резкое уменьшение потока γ -квантов при $l > 50^\circ$ и плато в интервале $l = 50^\circ - 70^\circ$, где нет особенностей спиральной структуры, также подтверждают эту картину.

Однако не наблюдается максимумов с направлений $l = 50^\circ$ и $l = 300^\circ$, от рукава *Sagittarius*.

Остальные особенности в долготном распределении объясняются локальными источниками (см.ниже)

в) Энергетический спектр.

Для района центра Галактики γ -поток поровну представлен жестким "пионным" излучением, которое доминирует, начиная с энергией $E \approx 70$ Мэв, и мягкими γ -квантами со спектром E^{-2} для $E < 70$ Мэв.

Величины потоков γ -квантов:

от района центра Галактики ($|b| \leq 10^\circ$, $l = \pm 30^\circ$)

$$J (\geq 15 \text{ МэВ}) = 3,5 \cdot 10^{-4} \frac{\gamma}{\text{см}^2 \text{ сек. рад.}}$$

$$J (\geq 100 \text{ МэВ}) = (1,1 \pm 0,3) \cdot 10^{-4} \frac{\gamma}{\text{см}^2 \text{ сек. стер.}}$$

от района антицентра Галактики ($|b| \leq 10^\circ, l = 160-230^\circ$)

$$J (\geq 100 \text{ МэВ}) = 2 \cdot 10^{-5} \frac{\gamma}{\text{см}^2 \text{ сек. рад.}}$$

2. Локальные источники.

Избытки γ - квантов в разных энергетических интервалах наблюдались от многих участках неба, расположенных как в полосе Млечного пути, так и вдали от нее.

а) Солнце.

Гамма-излучение спокойного Солнца (солнечное γ -альbedo) еще не обнаружено. В августе 1972 г. спутником O5 O-7 зарегистрировано мягкое γ -излучение в линиях 0,5, 2,2, 4,4, и 6,1 МэВ во время сильных солнечных вспышек классов 2В и 3В (табл.1).

Табл. 1.

Тип вспышки, время изме- рения.	Поток $\gamma/\text{см}^2 \text{ сек}$			
	0,5 МэВ	2,2 МэВ	4,4 МэВ	6,1 МэВ
2В(H α), 2 августа 1972 г. 0626-0632 UT (до max H α)	$(7 \pm 1,5) \cdot 10^{-2}$	$(2,2 \pm 0,2) \cdot 10^{-1}$	$(3 \pm 1) \cdot 10^{-2}$	$(3 \pm 1) \cdot 10^{-2}$
1	2	3	4	5

1	2	3	4	5
ЗВ (Н ⁺)	$(3,7 \pm 0,9) \cdot 10^{-2}$			
7 августа				
1972 г.,		$(2,6 \pm 1) \cdot 10^{-2}$		$2 \cdot 10^{-2}$
1538-1547 ЦТ				
(после max H _α)			$2 \cdot 10^{-2}$	

Линия 2,2 Мэв указывает на возникновение в солнечной атмосфере нейтронного потока ($n+p \rightarrow d+\gamma$, $E = 2,23$ Мэв), а линия 0,5 Мэв — на рождение π^+ — мезонов, которые через $\pi^+ \rightarrow \mu^+ \rightarrow e^+$ — распады приводят к появлению потока позитронов с их последующей аннигиляцией ($e^-+e^+ \rightarrow 2\gamma$, $E = 0,51$ Мэв). Интерпретация двух других линий менее определена: излучение возбужденных ядер C^{12*} ($E=4,43$ Мэв) и O^{16*} ($E = 6,13$ Мэв). По интенсивности определено число ускоренных во вспышке протонов: за $\sim 10^3$ сек образовалось $2 \cdot 10^{33}$ протонов с $E = 10-50$ Мэв.

б) Крабовидная Туманность (КТ) и пульсар $NP 0532$ ($l = 185^\circ$, $b = -6^\circ$), остаток сверхновой 1054 г.

Энергетический спектр КТ остается одностепенным $AE^{-\alpha}$ с показателем $\alpha \approx 2$ вплоть до $E = 1$ Гэв, что указывает ^{на} синхротронную природу излучения (рис.7). Регистрируемые потоки:

$$F (\geq 100 \text{ Мэв}) = (3,2 \pm 0,9) \cdot 10^{-6} \frac{\gamma}{\text{см}^2 \text{ сек.}}, \text{ из них}$$

$$F_{\text{пульс.}} (\geq 100 \text{ Мэв}) = (2,2 \pm 0,7) 10^{-6} \frac{\gamma}{\text{см}^2 \text{ сек}}$$

пульсирующее с периодом $\tau \approx 33$ мсек γ -излучение пульсара (рис.8). Доля пульсирующей компоненты велика, $70 \pm 30\%$ для $E \geq 100$ Мэв, тогда как в области рентгена она составляет 2-10%.

в) Туманность Парус - X ($\ell = 264^\circ$, $b = -3^\circ$), остаток сверхновой, вспыхнувшей ~ 9000 лет назад.

$$F (\geq 100 \text{ Мэв}) = (5,0 \pm 1,2) 10^{-6} \frac{\gamma}{\text{см}^2 \text{ сек}}$$

$$F (\geq 35 \text{ Мэв}) = (1,1 \pm 0,3) 10^{-5} \frac{\gamma}{\text{см}^2 \text{ сек}}$$

Спектр жесткий, "пионный".

Пульсирующий поток от пульсара PSR 0833 ($\tau = 89$ мсек), расположенного в центре Туманности, по одним данным найден ($\sim 1,5 10^{-5} \frac{\gamma}{\text{см}^2 \text{ сек}}$ для $E = 10-30$ Мэв), по другим его нет ($< 2,1 10^{-6} \frac{\gamma}{\text{см}^2 \text{ сек}}$ для $E \geq 35$ Мэв).

г) Протяженный источник ($\ell = 185-200^\circ$, $b = 5 \pm 3^\circ$).

Регистрируемый источник связан, возможно, со старой сверхновой IC 443 ($\ell = 189^\circ$, $b = 3^\circ$), возраст которой 60000 л, и расстояние до Солнца 1,5 клс.

д) Источник (или источники?) в районе созвездия Лебедя ($\ell = 70-80^\circ$, $b = 0$).

От этой области неба несколько раз регистрировались

избыточные потоки γ -квантов. Иногда потоки не наблюдались, что, скорее всего, указывает на их переменность.

В этом месте расположен рентгеновский источник *Cyg X-3* с периодическим рентгеновским и инфракрасным излучением,

$\tau = 4,8$ час. В сентябре 1972 г. от *Cyg X-3* наблюдались сильные всплески радиоизлучения. Вслед за этим про-

ведены наблюдения γ -излучения от этой области в интервалах энергичного ($E \geq 40$ Мэв) и сверхжесткого ($E \geq 10^{12}$ эв) γ -излучений (рис.9). Если зарегистрированное

γ -излучение связано с *Cyg X-3*, расстояние до которого ~ 10 кпс, то $W_\gamma (\geq 40 \text{ Мэв}) = 5 \cdot 10^{37} \frac{\text{эрг}}{\text{сек}}$,
 $W_\gamma (\geq 10^{12} \text{ эв}) \simeq 2 \cdot 10^{36} \frac{\text{эрг}}{\text{сек}}$.

д) Район центра Галактики ($l = 350-10^\circ$, $|b| \leq 10^\circ$).

Максимум в долготном распределении от этой области (рис.5), возможно, указывает на γ -излучение галактического ядра.

Рис. 10 - γ -карта района центра Галактики, полученная телескопом с угловым разрешением $\Delta \theta = 1,5^\circ$ при $E = 15$ Мэв. Концентрация событий в полосе $l = 350-360^\circ$, $b = 0 \div 2^\circ$ (галактическое ядро?) и в двух кружках с радиусом $1,5^\circ$: $l = 15^\circ$, $b = -7^\circ$; $l = 353^\circ$, $b = -1^\circ$.

ж) Возможные внегалактические источники.

Избытки γ -квантов наблюдались от областей неба,

где расположены активные галактики : 3C120, PK S 1514-24, NGC 4151. Наблюдения на SAS-2 дали лишь верхние пределы на уровне $10^{-6} \frac{\gamma}{\text{см}^2 \text{ сек}}$ для $E \geq 100$ Мэв.

По наблюдениям, проведенным на ИСЗ и аэростатах, составлен каталог возможных дискретных источников γ -квантов. Рис. 11 – карта дискретных источников из каталога, отобранных с учетом критерия повторяемости. Наблюдается концентрация источников к плоскости Галактики и корреляция с областями, богатыми газом и молодыми звездами (OB – ассоциации).

3. Диффузное изотропное γ -излучение

Изотропная компонента диффузного КГИ отождествляется с изучением всей Метагалактики, т.ч. ее исследование имеет большую ценность для астрофизики и космологии.

а) Изотропия излучения.

В интервале рентгена (10–100 кэв) изотропия излучения составляет 1–5% на угле 10° . В Области мягкого и энергичного γ -излучений изотропия $\sim 10\%$ (по данным "Космос-461", OSO-3, SAS-2).

б) Энергетический спектр (рис. 12).

Общий одностепенный закон от области рентгена (30 кэв) до γ -квантов с энергией $E = 200$ Мэв:

$$\frac{d\dot{\gamma}}{dE} = 0,011 E^{-2,3} \frac{\gamma}{\text{см}^2 \text{ сек. стер. Мэв}}$$

Возможное превышение над степенным спектром в интервале 1-30 Мэв - указание на космологический поток γ -квантов.

4. Кратковременные всплески мягких γ -квантов.

Спутниками Вела (5А, 5В, 6А, 6В), ОСО-7, ТМР-6, -7, "Космос-461", ТД-1, САС-2 обнаружено новое астрофизическое явление - кратковременные всплески γ -квантов (рис. 13).

Характеристики всплесков:

- длительность 1-50 сек;
- временная структура: отдельные пики длительностью 1 сек, повторяющиеся через определенное время;
- микроструктура со шкалой $\Delta t \approx 0,1$ сек;
- поток энергии до $2 \cdot 10^{-4}$ эрг/см² за время всплеска;
- непрерывный спектр с наибольшим потоком в интервале 0,1 - 0,4 Мэв;
- приближительная изотропия источников на небе;
- частота $\sim 5 \text{ год}^{-1}$ для $S' \geq 10^{-5}$ эрг/см².

Распределение $\mathcal{N}(S') \sim S'^{-0,5}$, возможно, указывает на расположение источников в местном рукаве Галактики. По галактической (местной) гипотезе расстояние до источников $R \lesssim 100$ пс и мощность излучения $W \approx 10^{37}$ эрг/сек. Метагалактическая гипотеза ($R \gtrsim 100$ Мпс,

вспышки в ядрах галактик и квазаров, $W \approx 10^{46} \frac{\text{эрг}}{\text{сек}}$).

У1. ИНТЕРПРЕТАЦИЯ НАБЛЮДАТЕЛЬНЫХ ДАННЫХ

Полученные результаты позволяют сделать ряд астро-
физических выводов.

1. Распределение космических лучей и вещества в Галактике

Результаты наблюдений качественно подтверждают мо-
дель Бигнами-Фихтела, согласно которой газ, магнитное
поле и космические лучи сосредоточены в основном в спи-
ральных рукавах, где соответствующие плотности в ~ 5 раз
выше, чем в пространстве между рукавами. Основной вклад
в наблюдаемое γ -излучение вносит ближний рукав
(*Sagittarius*), расположенный в 2 кпс от Солнца — отсю-
да широкая компонента в широтном распределении (рис. 4а).

Однако существуют и другие трактовки результатов
наблюдений. Из данных SAS-2 вычислена γ -свети-
мость Галактики, которая обнаруживает максимум на $R_c =$
4-6 кпс (R_c — расстояние от центра Галактики). Объяс-
нение: либо в этой области повышенная интенсивность кос-
мических лучей, ускоряемых за счет механизма Ферми
(Стеккер и др.), либо повышенная концентрация молеку-

лярного водорода, достигающая 10 см^{-3} и превышающая на порядок среднюю концентрацию атомарного водорода (Стронг и др., Соломон и Стеккер). В последнем случае космические лучи равномерно распределены по всему диску Галактики.

Шкловский, основываясь на модели Бигнами-Фихтеля, показал, что потери протонов на γ -излучение и электронов на радиоизлучение составляют: $\frac{dW_p}{dt} = 2 \cdot 10^{39} \frac{\text{эрг}}{\text{сек}}$, $\frac{dW_e}{dt} = 6 \cdot 10^{37} \frac{\text{эрг}}{\text{сек}}$. Их отношение (~ 30) близко к отношению плотностей соответствующих компонент (~ 30), — указание на то, что космические лучи проникают в спиральные рукава и там с большой вероятностью "гибнут", растрачивая свою энергию на γ -излучение (протоны и ядра) и радиоизлучение (электроны).

2. Происхождение космических лучей

Т.к. достигнутый уровень чувствительности γ -астрономических наблюдений составляет сейчас только $10^{-6} \frac{\text{эрг}}{\text{см}^2 \text{сек}}$, идея Гинзбурга о выборе между галактической и метагалактической гипотезами по наблюдению Магелановых Облаков еще не реализована. Но из результатов наблюдений можно получить ряд аргументов в пользу галактического происхождения космических лучей (с энергией несколько Гэв):

а) Поток γ -квантов со стороны анцентра не совпадает с ожидаемым по метагалактической модели и нахо-

дится в разумном согласии с возможными галактическими источниками – остатками сверхновых, областями H II (Стронг и др.).

б) Гамма-излучение туманности Парус – X, имеющее жесткий “пионный” спектр – первое свидетельство генерации протонов и ядер в оболочках сверхновых. (Парус-X – близкий к Солнцу остаток сверхновой, $R = 460$ пс, возраст 9000 лет).

Из измеренного потока γ -квантов следует, что в космические лучи перешло $3 \cdot 10^{50}$ эрг, тогда как для наполнения Галактики космическими лучами достаточно $10^{49} - 10^{51}$ эрг на каждую сверхновую.

в) Гамма-излучение Крабовидной Туманности и пульсара в ней (синхротронный спектр) указывает на то, что в момент взрыва сверхновой и молодым пульсаром генерируется в основном электронная компонента.

3. Метагалактические космические лучи

Общий степенной спектр изотропного диффузного рентгеновского и γ -излучения с показателем $\alpha \approx 2,3$ объясняется комптоновским рассеянием метагалактических электронов на реликтовых фотонах. Отсюда при критической плотности межгалактического газа (10^{-5} см^{-3}) плотность электронов в Метагалактике на 2–4 порядка меньше, чем в Галактике.

Избыток над степенным спектром в интервале 1-30 Мэв можно трактовать, как проявление космологического γ -излучения с $z \approx 100$ (Стеккер), однако, результаты наблюдений противоречивы.

4. Оценки плотности антивещества

По экспериментальным результатам для изотропного диффузного γ -излучения получены оценки плотности межгалактического газа и антигаза, исходя из соотношения

$$F_\gamma \approx \frac{1}{4\pi} R_H n \tilde{n} (\overline{\sigma_a v}),$$
 где $R_H \approx 10^{28}$ см хаббловский радиус Метагалактики; n, \tilde{n} - плотности газа и антигаза, $(\overline{\sigma_a v})$ - усредненное по спектру произведение сечения аннигиляции на относительную скорость частиц.

Если газ ионизирован, $(\overline{\sigma_a v}) = 10^{-15} \frac{\text{см}^3}{\text{сек}}$ и $n \cdot \tilde{n} \lesssim 10^{-17} \text{ см}^{-6}$, т.е. либо $n = \tilde{n} \lesssim 3 \cdot 10^{-9} \text{ см}^{-3}$ (симметричная, $B = AB$, открытая Вселенная), либо $n = 10^{-5} \text{ см}^{-3}$, $\tilde{n} \lesssim 10^{-12} \text{ см}^{-3}$ (несимметричная по барионному заряду, закрытая Вселенная).

Если газ нейтрален, $(\overline{\sigma_a v}) = 10^{-10} \frac{\text{см}^3}{\text{сек}}$ и $n \cdot \tilde{n} \lesssim 10^{-22} \text{ см}^{-6}$ и в случае $B = AB$ $n = \tilde{n} \lesssim 10^{-11} \text{ см}^{-3}$, что совпадает с другими оценками плотности нейтрального межзвездного газа.

5. Дискретные источники

Величины потоков (или верхних пределов потоков) γ -квантов от ряда дискретных источников позволяют произвести выбор между моделями этих источников и получить оцен-

ки некоторых параметров. Так, например, установлено, что электроны в Крабовидной Туманности и радиогалактике M87 образуются непосредственно, а не через π - μ - e -распад.

Получены оценки магнитного поля :

$$\bar{H}_{KT} = 2,5 \cdot 10^{-4} \text{ гс}, \quad H_{\text{MPO532}} > 10^3 \text{ гс}, \quad \bar{H}_{\text{M87}} > 10^{-5} \text{ гс}.$$

УП. ПЕРСПЕКТИВЫ ГАММА-АСТРОНОМИИ

Достигнутый уровень $F_{\text{min}} \approx 10^{-6} \frac{\gamma}{\text{см}^2 \text{ сек}}$ в измерении потоков от дискретных источников для γ -квантов с энергией $E \geq 100 \text{ Мэв}$ получен на телескопах с эффективной площадью до $S_{\text{эф}} = 10^3 \text{ см}^2$, угловым разрешением до $\Delta\theta = 3-4^\circ$ и длительностью наблюдения дискретного источника до $t_{\text{наб}} \approx 1$ неделя ("Космос-264", SAS-2, ТД-1). Такого же типа европейский γ -телескоп, установленный на спутнике COS-B (запуск в 1975г.).

Следующее поколение γ -телескопов (1977-1980 г.г.) :

$S_{\text{эф}} = 2000 \text{ см}^2$, $\Delta\theta = 1-2^\circ$, $t_{\text{наб}} \approx 2$ мес, позволит достичь уровня $F_{\text{min}} \approx 10^{-7} \frac{\gamma}{\text{см}^2 \text{ сек}}$. Приблизительно таких параметров создаются телескопы в США (будут установлены на спутнике - астрофизической обсерватории высоких энергий (HEAO) или на орбитальных станциях программы Shuttle) и в СССР.

Методические усовершенствования :

а) Телескоп, регистрирующий двойное комптоновское рассеяние мягких γ -квантов.

Телескоп группы Альвареца (США) с жидкостными ксеноновыми счетчиками : пространственное разрешение 2 мм, энергетическое разрешение $\Delta E/E \approx 10\%$ при 1 Мэв, точность локализации потока γ -квантов от дискретного источника $\sim 0,1$ квадр.град.

б) Телескоп с газовым черенковским счетчиком.

$S_{\text{эф}} = 3-5 \text{ м}^2$, $\Delta \Theta \approx 1^\circ$, пороговый Лоренц-фактор $\gamma_{\text{пор}} \approx 10^{-2}$, малый фон от космических частиц.

в) Счетчики полного поглощения.

Проект телескопа Хофштадтера-Хьюза с нитяными пропорциональными счетчиками и кристаллом $\text{NaI}(\text{Tl})$ (диаметр \approx высоте ≈ 40 см, $\Delta E/E \approx 1\%$ при 1 Гэв).

Третье поколение телескопов, созданных на основе этих разработок и проектов, которые будут устанавливаться на спутники в 80-х годах, позволит достигнуть уровня

$F_{\text{min}} = 10^{-8} - 10^{-9} \frac{\gamma}{\text{см}^2 \text{ сек}}$, углового и энергетического разрешений $\Delta \Theta = 1^\circ$ и $\frac{\Delta E}{E} \approx 5\%$ соответствен-

но и измерять поляризацию с точностью 5-10%. Такие телескопы способны будут решать большую часть задач, стоящих перед γ -астрономией в настоящее время, но ясно, что к моменту их ввода круг γ -астрофизических исследований претерпит существенные изменения.

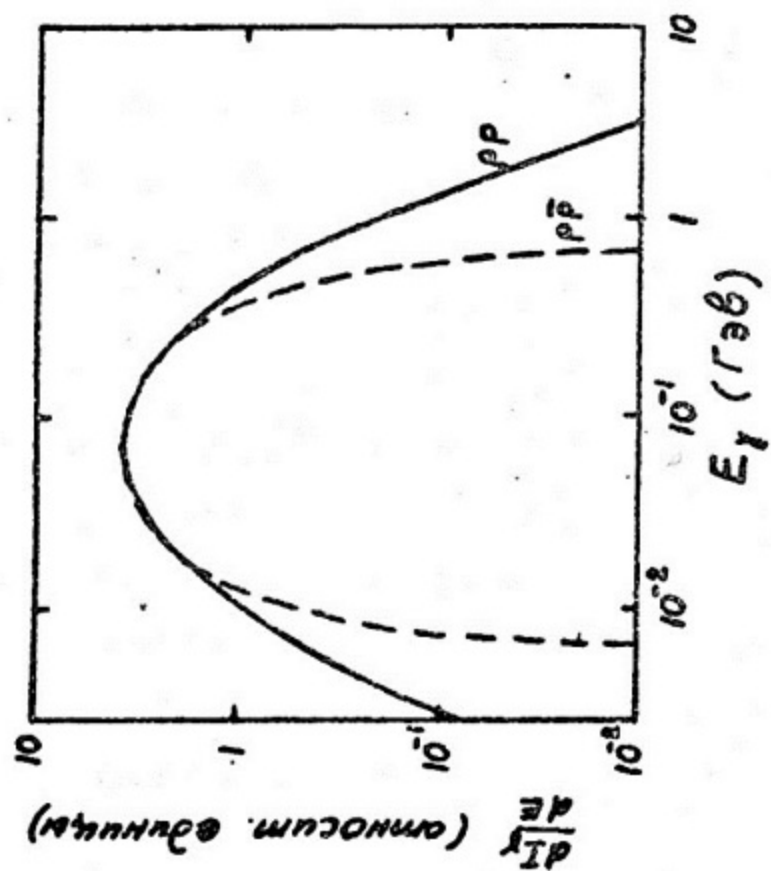


Рис. 1. Дифференциальные спектры "пионных" космических δ^+ - квантов, генерируемых в pp и $p\bar{p}$ взаимодействиях.

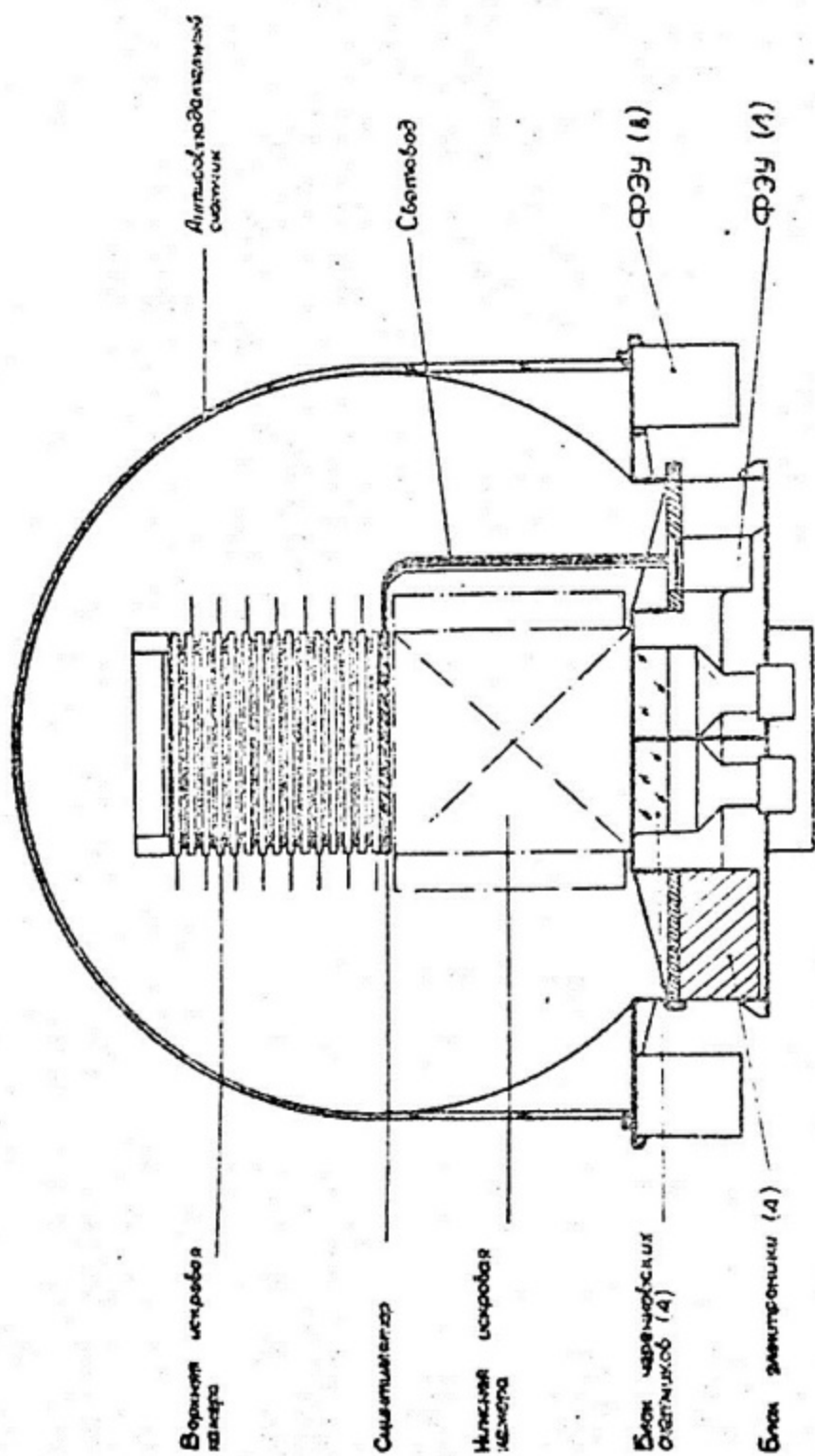


Рис.3. Схема γ - телескопа с нитяной искровой камерой (SAS - 2).

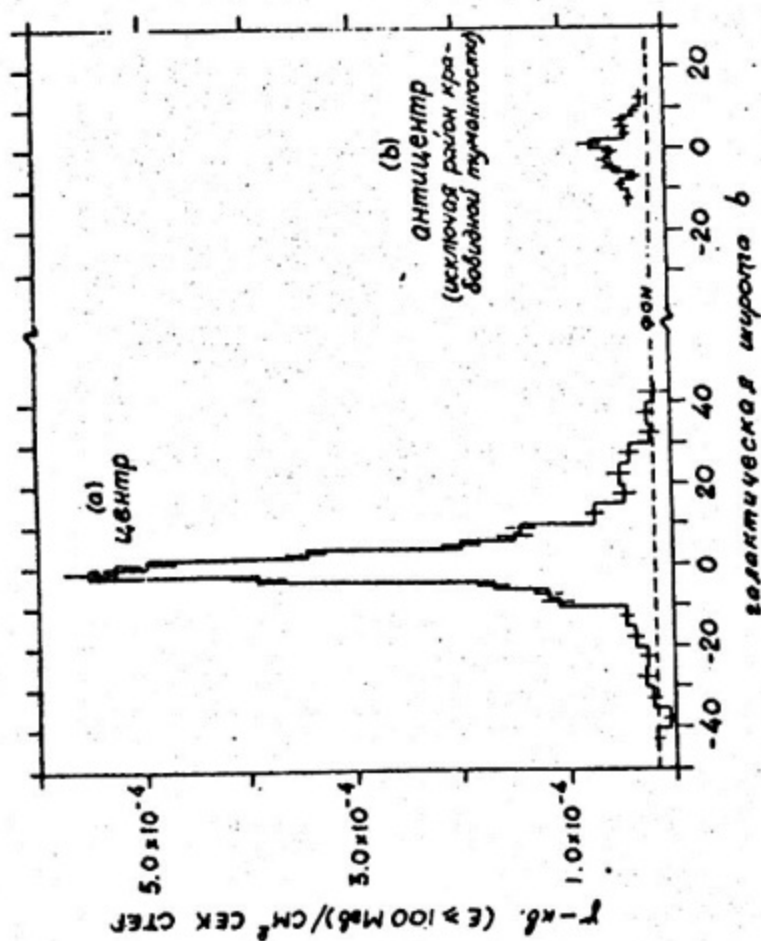


Рис. 1. Широтное распределение γ - излучения Галактики по данным SAS-2 :
 а) в направлении на центр Галактики ;
 б) в направлении на антицентр Галактики.

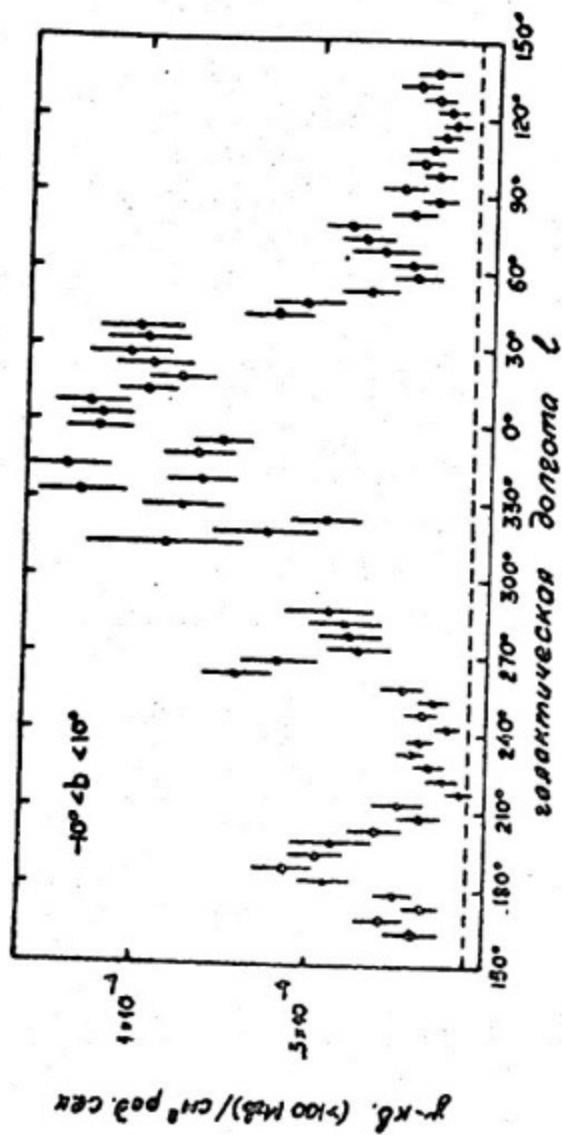


Рис. 5. Долготное распределение γ -- излучения Галактики по данным SAS -- 2.

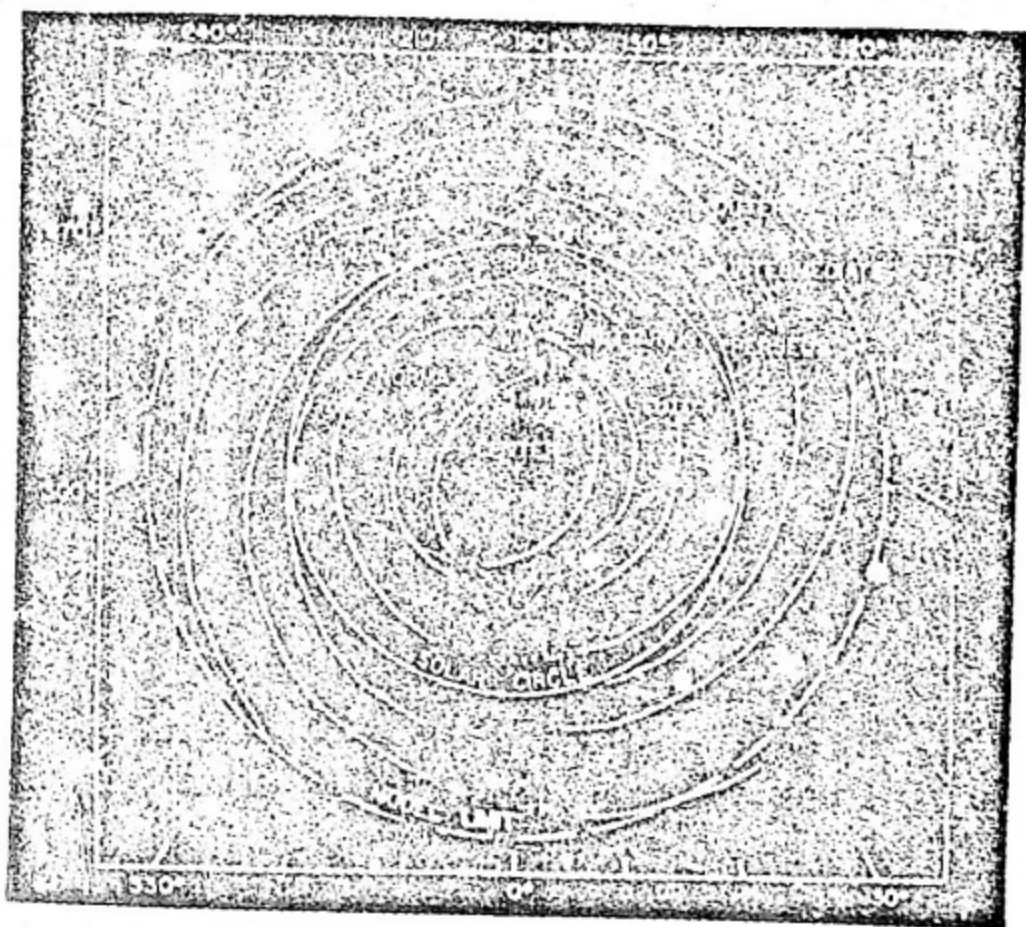


Рис.6. Спиральная структура Галактики (данные радионаблюдений).

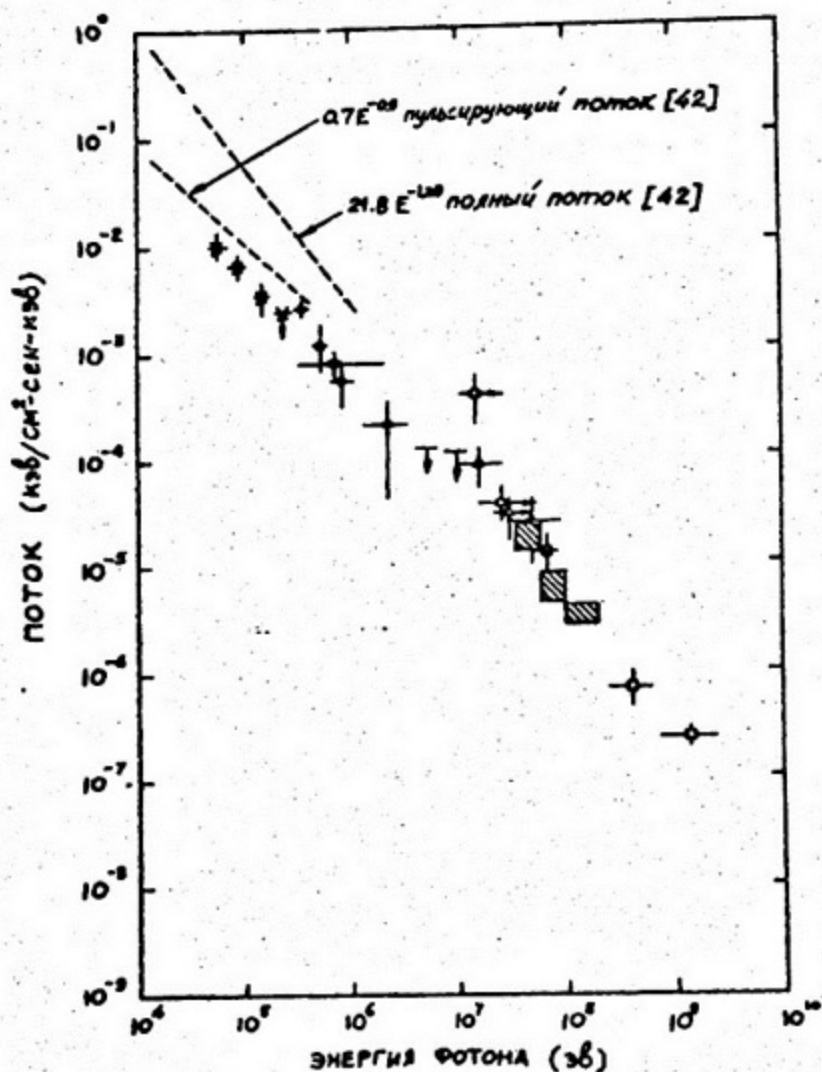
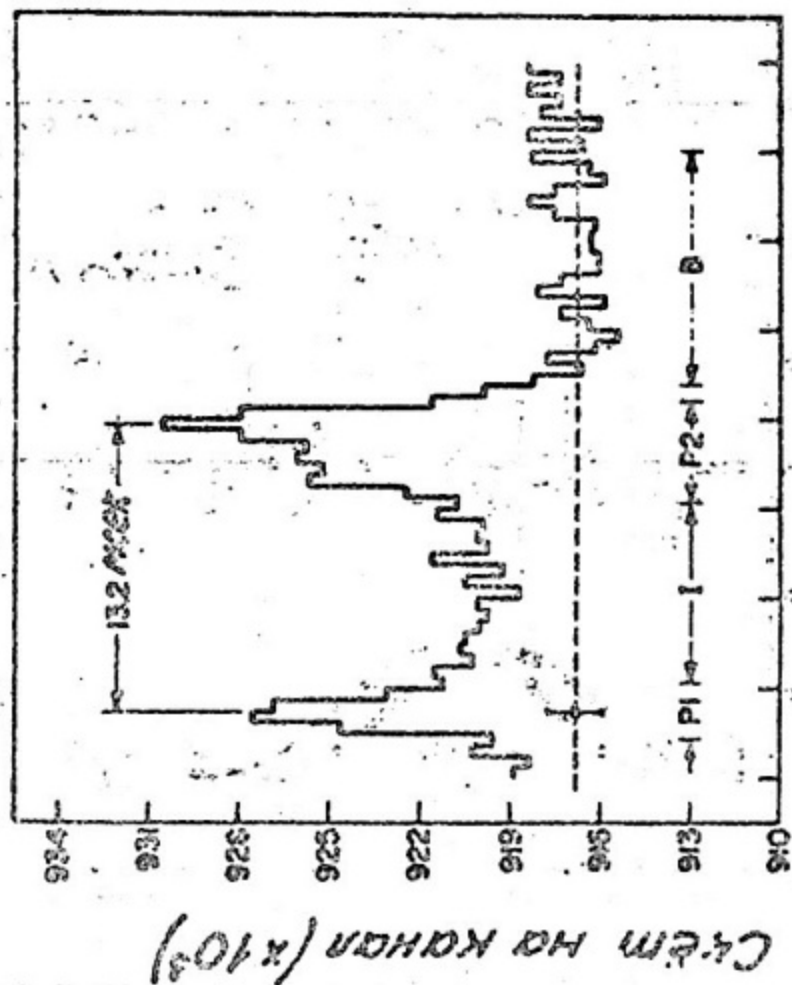


Рис. 7. Энергетические спектры γ - излучения Крабовидной Туманности (полный поток) и пульсара МР 0532 (пульсирующий поток). Показаны результаты наблюдений и аппроксимирующие зависимости.

Рис. 8. Структура импульса пульсара МР 0532 в интервале энергии γ - квантов 0,1-0,4 Мэв.



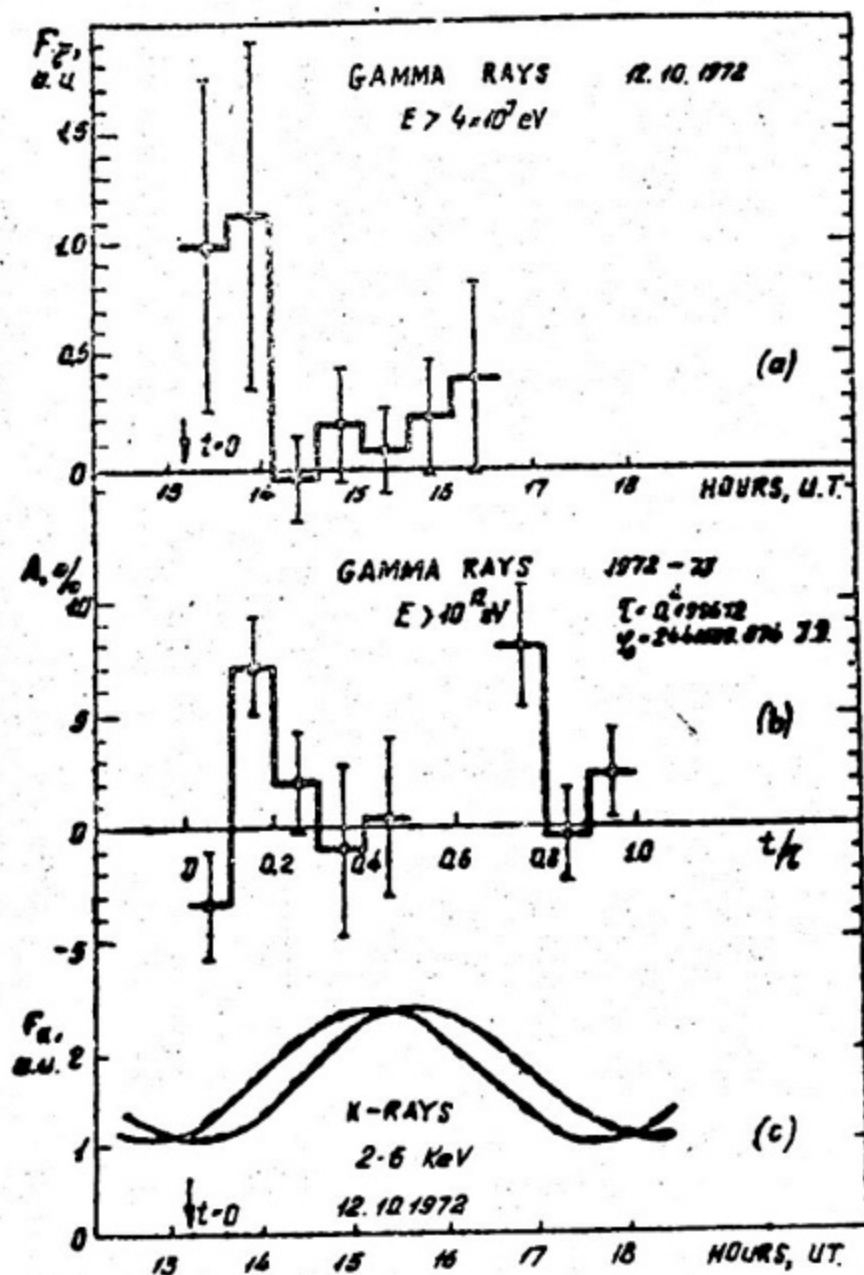


Рис. 9. Рентгеновское и γ -излучение источника Cu^{64} X-3: а) γ -кванты с энергией ≥ 40 Мэв (аэростатные наблюдения 12.10.1972). б) γ -кванты с энергией $\geq 10^{12}$ эв (наземные наблюдения в течение 1972-73 г.г.); в) поток рентгеновских квантов с энергией 2-10 кэв (наблюдения на спутниках *Uhuru*, Коперник, OSO-7).

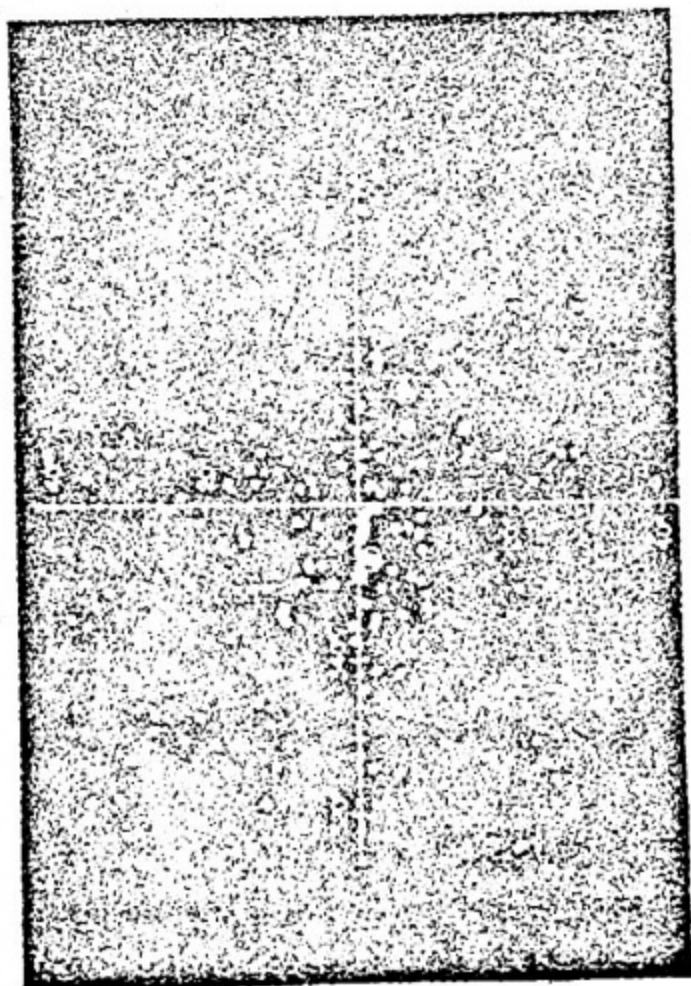


Рис. 10. Карта района центра Галактики для γ - квантов с энергией ≥ 15 Мэв (наблюдения на аэростате): l, b - галактическая долгота и широта.

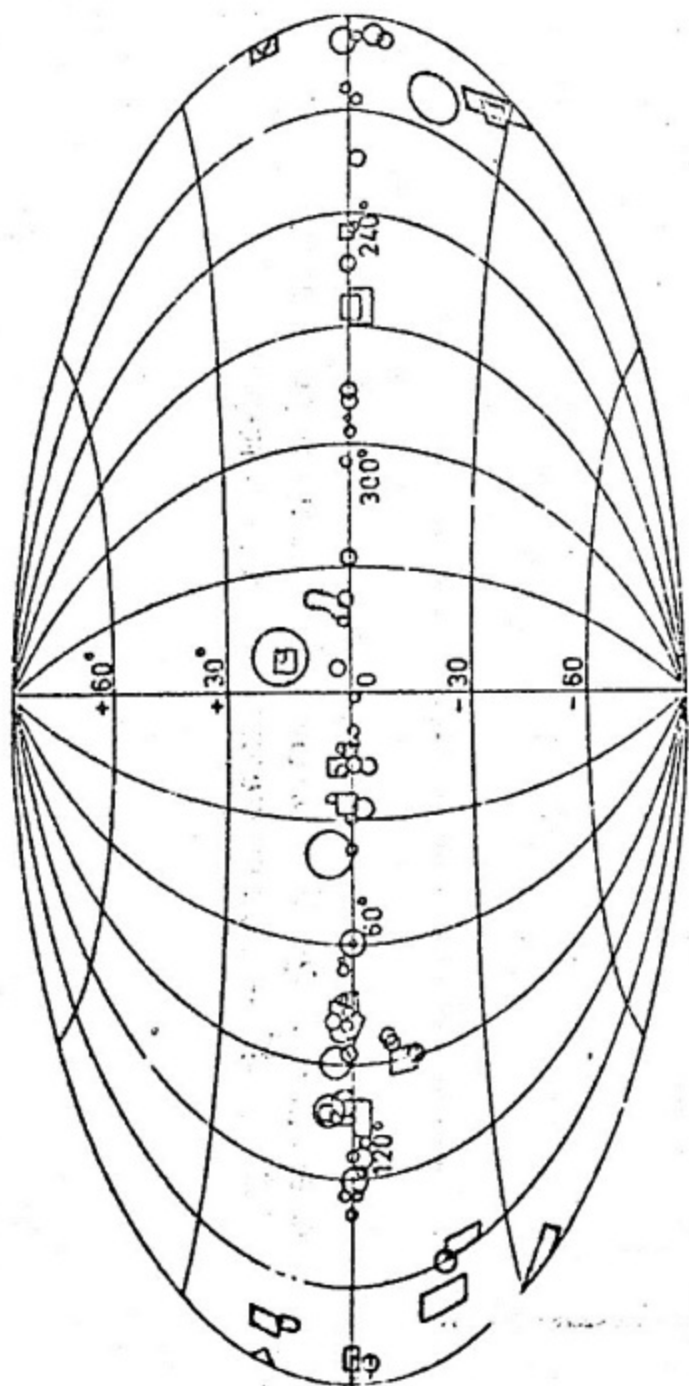


Рис. 11. Карта возможных дискретных источников γ -квантов с энергией $\gg 50$ Мэв (заштрихованные фигуры) и областей звездных OB-ассоциаций; l, b - галактические координаты

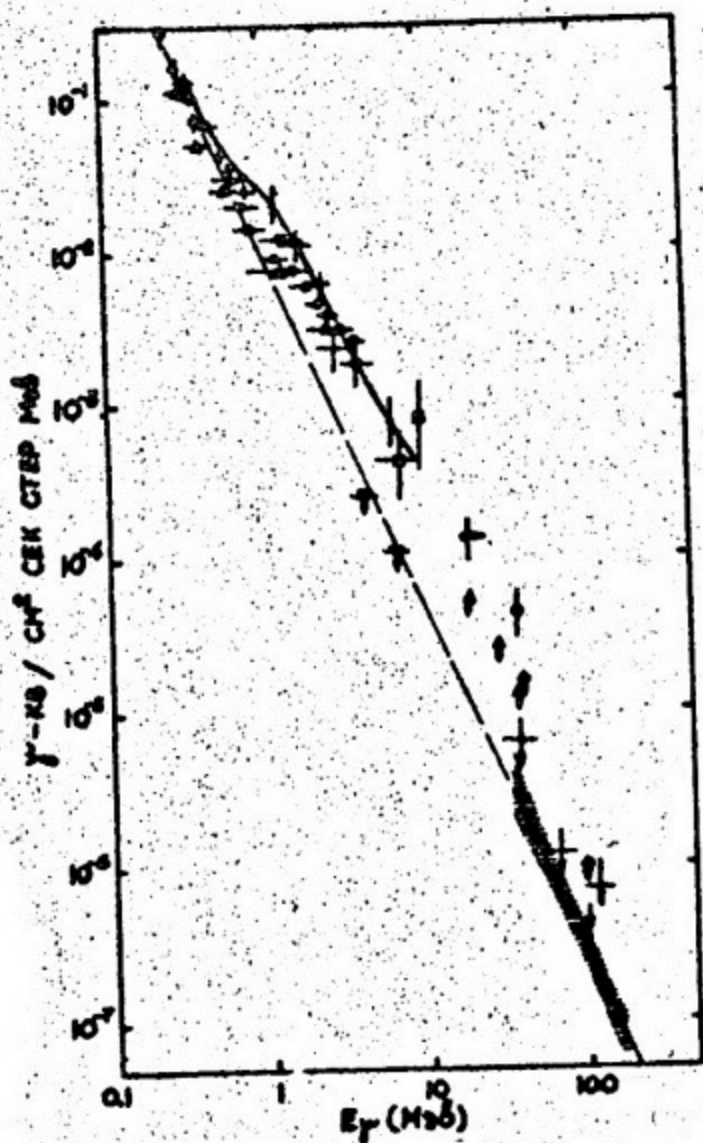


Рис. 12. Дифференциальный энергетический спектр диффузного изотропного γ -излучения. Показаны результаты спутниковых и аэростатных наблюдений, в том числе "Аполлон-15" (сплошная линия) и SAS-2 (заштрихованная область); штриховая линия - общий одностепенный спектр.

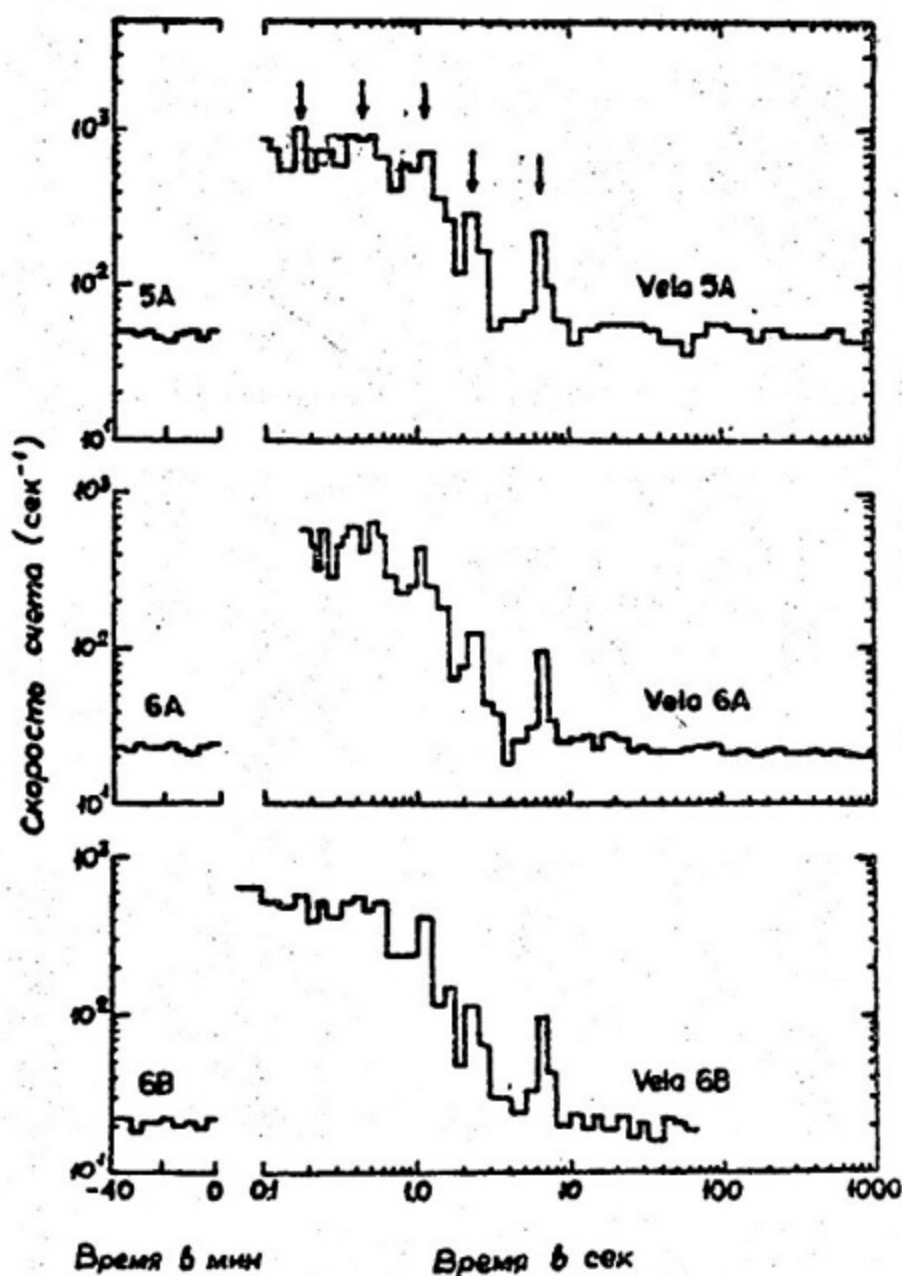


Рис. 13. Пример кратковременного всплеска мягкого γ -излучения (0,2-1,5 Мэв), зарегистрированный спутниками Вела. Стрелками показаны отдельные пики "тонкой" структуры.

Л 91161. Подп. к печати 13/У-75 г. Объем 2,75 п.л.

Заказ 764. Цена 30 к. Тираж 250.

Типография МИФИ, Каширское шоссе, дом. 1.